



第三章 二阶非线性（三波混频）效应

总结与习题

教师：魏敦钊（副教授）

邮箱：weidzh@mail.sysu.edu.cn

主页：spe.sysu.edu.cn/node/2973



第三章内容大纲（更新）



耦合波方程

二阶非线性系数

材料：块状晶体、二维材料、超表面等（了解）

对称性：非线性系数矩阵，表面对称性破缺等（掌握）

系数选择：坐标简化，有效非线性系数（重点）

频率依赖关系：是否靠近材料共振吸收区域（了解）

入射与产生的光场

和频、差频、光参量放大（应用：激光或单光子变频）（重点）

光参量共振（应用：中红外光源、压缩源）（掌握）

自发参量下转换（应用：纠缠源、预报性单光子源）（了解）

光场近似：是否可以忽略泵浦光能量的变化（掌握）

波矢失配量

双折射相位匹配（重点）

温度角度调控（掌握）

基波损耗、走离效应、群速度色散（了解）

二阶非线性系数 &波矢失配量

准相位匹配理论（重点）

倒格矢设计（级联；脉冲频率转换等）（掌握）

系数调控方式（电极化、飞秒激光直写等）（了解）

非线性菲涅尔惠根斯原理

非线性全息理论

非线性光子晶体



第2节作业①



简答题:

1. 什么是各向同性与各向异性?
2. 什么是色散? 色散在耦合波方程中的影响是什么?
3. 损耗与 $\overleftrightarrow{\chi}^{(1)}$ 的 $\overleftrightarrow{\chi}^{(2)}$ 关系, 为什么要考虑无损耗?

问题2: 色散 (光学)

In [optics](#), **dispersion** is the phenomenon in which the [phase velocity](#) of a wave depends on its frequency

$$\frac{\partial \overrightarrow{E}_c}{\partial z} = \frac{i\omega_c}{2cn} \overleftrightarrow{\chi}^{(2)} \cdot \overrightarrow{E}_a \overrightarrow{E}_b e^{i\Delta kz}$$

主要影响是波矢失配量

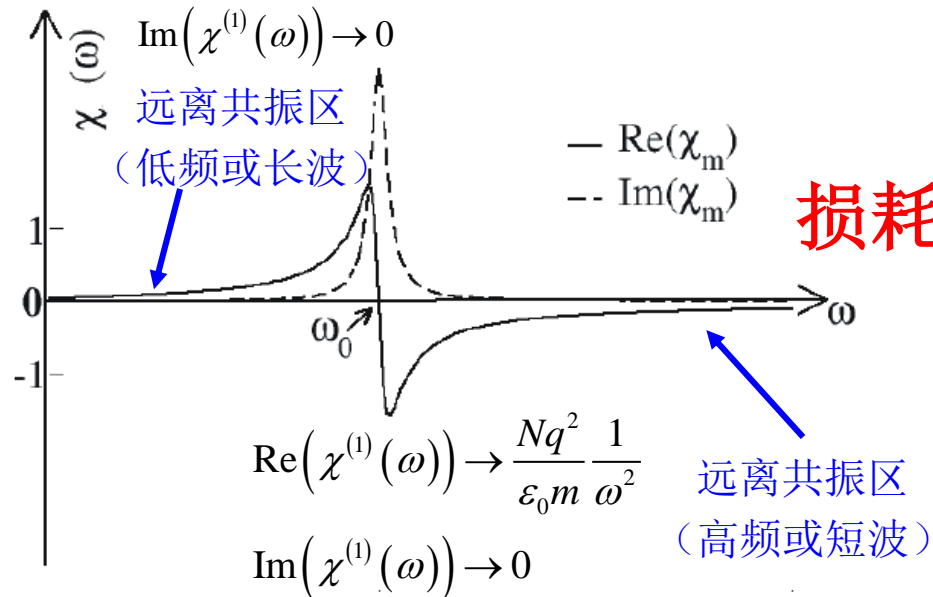
问题3: 损耗

$$\chi^{(1)}(\omega) = \frac{Nq^2}{\epsilon_0 m D(\omega)} = \text{Re}(\chi^{(1)}(\omega)) + i \cdot \text{Im}(\chi^{(1)}(\omega))$$

$$D(\omega) = \omega_0^2 - \omega^2 - 2i\omega\gamma,$$

$$\chi^{(2)}(\omega_1 + \omega_2; \omega_1, \omega_2) = \frac{aNq^3}{\epsilon_0 m^2} \frac{1}{D(\omega_1 + \omega_2)D(\omega_1)D(\omega_2)}$$

$$\text{Re}(\chi^{(1)}(\omega)) \rightarrow \frac{Nq^2}{\epsilon_0 m} \frac{1}{\omega_0^2}$$





第2节作业②



请从非线性时域波动方程推导出三波耦合方程，推导过程中需写出每一步近似的依据。

非线性时域波动方程

$$\nabla \times \nabla \times \vec{E}^{NL} + \frac{1}{\varepsilon_0 c^2} \frac{\partial^2}{\partial t^2} \vec{\varepsilon} \cdot \vec{E}^{NL} = -\frac{1}{\varepsilon_0 c^2} \frac{\partial^2 \vec{P}^{NL}}{\partial t^2}$$



三波耦合方程组

$$\begin{cases} \frac{dE_3(z)}{dz} = \frac{2id_{eff}\omega_3^2}{k_3c^2} E_1(z) E_2(z) e^{i\Delta kz} \\ \frac{dE_1(z)}{dz} = \frac{2id_{eff}\omega_1^2}{k_1c^2} E_3(z) E_2^*(z) e^{-i\Delta kz} \\ \frac{dE_2(z)}{dz} = \frac{2id_{eff}\omega_2^2}{k_2c^2} E_3(z) E_1^*(z) e^{-i\Delta kz} \end{cases}$$

$$\begin{cases} \Delta k = k_1 + k_2 - k_3 \\ \omega_3 = \omega_1 + \omega_2 \end{cases}$$



第2节作业②



各项异性非线性时域波动方程

$$\nabla \times \nabla \times \vec{E}^{NL} + \frac{1}{\epsilon_0 c^2} \frac{\partial^2}{\partial t^2} \vec{\epsilon} \cdot \vec{E}^{NL} = -\frac{1}{\epsilon_0 c^2} \frac{\partial^2 \vec{P}^{NL}}{\partial t^2}$$

近似1: 均匀介质

$$\nabla \cdot \vec{E} = 0$$

$$-\nabla^2 \vec{E}^{NL} + \frac{1}{\epsilon_0 c^2} \frac{\partial^2}{\partial t^2} \vec{\epsilon} \cdot \vec{E}^{NL} = -\frac{1}{\epsilon_0 c^2} \frac{\partial^2 \vec{P}^{NL}}{\partial t^2}$$

近似2: 时谐电磁场

$$\begin{aligned} \vec{E}(\vec{r}, t) &= \sum_n \vec{E}_n(\vec{r}) e^{-i\omega_n t} \\ \vec{P}^{NL}(\vec{r}, t) &= \sum_n \vec{P}^{NL}_n(\vec{r}) e^{-i\omega_n t} \end{aligned}$$

$$\nabla^2 \vec{E}_n(\vec{r}) + \frac{\omega_n^2}{\epsilon_0 c^2} \vec{\epsilon} \cdot \vec{E}_n(\vec{r}) = -\frac{\omega_n^2}{\epsilon_0 c^2} \vec{P}^{NL}_n(\vec{r})$$

近似4: 缓变近似与
三波耦合 (无损耗)

$$\left| \frac{d^2 E_3(z)}{dz^2} \right| \ll \left| k_3 \frac{dE_3(z)}{dz} \right|$$

$$\begin{cases} \frac{dE_3(z)}{dz} = \frac{2id_{eff}\omega_3^2}{k_3 c^2} E_1(z) E_2(z) e^{i\Delta k z} \\ \frac{dE_1(z)}{dz} = \frac{2id_{eff}\omega_1^2}{k_1 c^2} E_3(z) E_2^*(z) e^{-i\Delta k z} \\ \frac{dE_2(z)}{dz} = \frac{2id_{eff}\omega_2^2}{k_2 c^2} E_3(z) E_1^*(z) e^{-i\Delta k z} \end{cases}$$

近似3: 单色平面波
与二阶非线性过程

$$\begin{aligned} \vec{E}_1(\vec{r}, t) &= E_1(z) e^{i(k_1 z - \omega_1 t)} \\ \vec{E}_2(\vec{r}, t) &= E_2(z) e^{i(k_2 z - \omega_2 t)} \end{aligned}$$

$$\frac{d^2 E_3(z)}{dz^2} + 2ik_3 \frac{dE_3(z)}{dz} = -\frac{4d_{eff}\omega_3^2}{\epsilon_0 c^2} E_1(z) E_2(z) e^{i\Delta k z}$$



第2节作业③



从小信号近似下的二次谐波电场表达式推导出二次谐波功率表达式，并根据以下参数，计算二次谐波的功率：

$$E_2(z) = \frac{id_{eff}\omega_2^2}{k_2c^2} E_1^2 \cdot \frac{2}{\Delta k} e^{i\Delta kL/2} \sin(\Delta kL/2)$$



$$P_2(L) = \frac{8d_{eff}^2\omega_2^2}{\varepsilon_0 n_1^2 n_2 c^3} \frac{P_1^2}{S} \frac{\sin^2(\Delta kL/2)}{\Delta k^2}$$

$$d_{eff} = 20 \text{ pm} \cdot \text{V}^{-1}, \lambda_2 = \frac{2\pi c}{\omega_2} = 500 \text{ nm}$$

$$n_1 = 2.2, n_2 = 2.3, c \approx 3 \times 10^8 \text{ m} \cdot \text{s}^{-1}$$

$$\varepsilon_0 \approx 8.854 \times 10^{-12} \text{ A} \cdot \text{s} \cdot \text{V}^{-1} \cdot \text{m}^{-1}$$

$$S = 2\pi \text{ mm}^2, P_1 = 1 \text{ W}, \Delta kL = \pi$$

P 为功率， S 为光斑很截面积

$$I_i = \frac{P_i}{S}$$

$$I_i = \frac{1}{2} n_i \varepsilon_0 c |E_i|^2$$

$$P_2 \sim 1.722 \times 10^{-12}$$

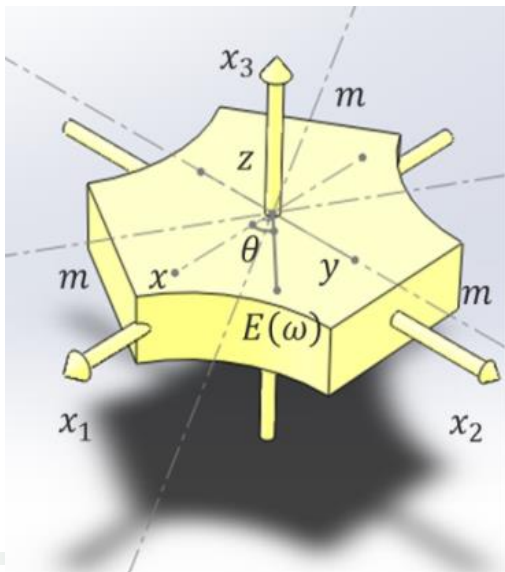


第3节作业①



铌酸锂晶体 (LiNbO_3) 属于 $3m$ 对称性:
一个 yz 对称平面和一个沿 z 轴的三次选择对称轴, 请通过克莱门对称性和张量对称性操作, 证明其二阶非线性系数矩阵为如下形式 (哪些矩阵元为0, 哪些矩阵元相等):

$$\frac{1}{2} \chi^{(2)} = \begin{bmatrix} 0 & 0 & 0 & 0 & d_{15} & -d_{22} \\ -d_{22} & d_{22} & 0 & d_{15} & 0 & 0 \\ d_{31} & d_{31} & d_{33} & 0 & 0 & 0 \end{bmatrix}, (d_{31} = d_{15})$$



镜面操作 (yz 面)

$$\begin{bmatrix} x' \\ y' \\ z' \end{bmatrix} = \begin{bmatrix} -1 & 0 & 0 \\ 0 & 1 & 0 \\ 0 & 0 & 1 \end{bmatrix} \begin{bmatrix} x \\ y \\ z \end{bmatrix} \quad x' \rightarrow -x, y' \rightarrow y, z' \rightarrow z$$

对称操作

$$d_{i'j'k'} = (-1)^n d_{ijk} = d_{ijk}$$

根据晶体对称性的要求, 包含一个 x' 或三个 x' 均为0, 所以有

$$d_{11} = d_{12} = d_{13} = d_{14} = d_{25} = d_{26} = d_{35} = d_{36} = 0$$

(无论克莱门对称是否有效, 该等式是成立的)

绕 z 轴 120° 旋转操作

$$\begin{bmatrix} x' \\ y' \\ z' \end{bmatrix} = \begin{bmatrix} -\frac{1}{2} & -\frac{\sqrt{3}}{2} & 0 \\ \frac{\sqrt{3}}{2} & -\frac{1}{2} & 0 \\ 0 & 0 & 1 \end{bmatrix} \begin{bmatrix} x \\ y \\ z \end{bmatrix} \quad \begin{cases} x' \rightarrow -\frac{1}{2}x - \frac{\sqrt{3}}{2}y \\ y' \rightarrow \frac{\sqrt{3}}{2}x - \frac{1}{2}y \\ z' \rightarrow z \end{cases}$$



第3节作业②



当入射电场为

$$\vec{E} = \begin{bmatrix} E_1(\omega) \\ E_2(\omega) \\ E_3(\omega) \end{bmatrix} = \begin{bmatrix} -\cos\theta \cos\varphi \\ -\cos\theta \sin\varphi \\ \sin\theta \end{bmatrix}$$

根据以下公式

$$\begin{bmatrix} P_1(2\omega) \\ P_2(2\omega) \\ P_3(2\omega) \end{bmatrix} = \varepsilon_0 \begin{bmatrix} 0 & 0 & 0 & 0 & \chi_{15} & -\chi_{22} \\ -\chi_{22} & \chi_{22} & 0 & \chi_{15} & 0 & 0 \\ \chi_{31} & \chi_{31} & \chi_{33} & 0 & 0 & 0 \end{bmatrix} \begin{bmatrix} E_1^2(\omega) \\ E_2^2(\omega) \\ E_3^2(\omega) \\ 2E_2(\omega)E_3(\omega) \\ 2E_2(\omega)E_3(\omega) \\ 2E_1(\omega)E_2(\omega) \end{bmatrix}$$

求解非线性极化强度与电场的关系表达式

$$\vec{P}^{(2)} = \begin{bmatrix} P_1(2\omega) \\ P_2(2\omega) \\ P_3(2\omega) \end{bmatrix} = ?$$

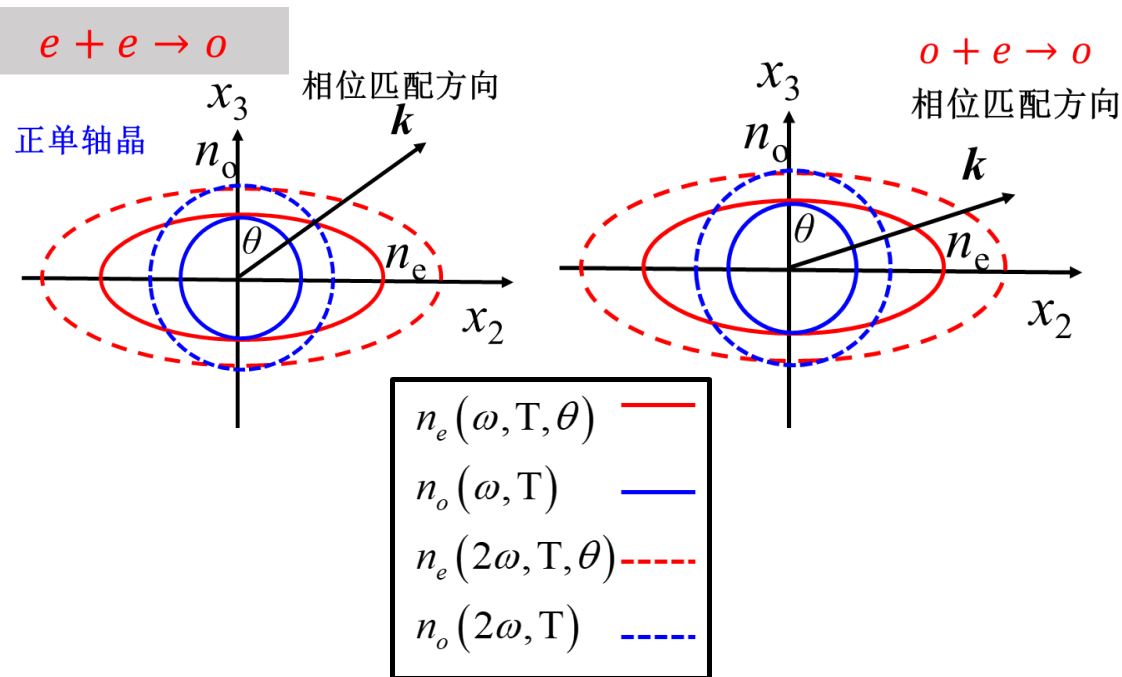
注意：O光和E光的电场表达式；矩阵不会让大家推导



第4节作业①



采用正单轴晶折射率曲面的 x_2 - x_3 截面作图方式，可以确定倍频过程一类 ($e+e \rightarrow o$) 和二类 ($e+o \rightarrow o$) 相位匹配角，如下图所示：



请采用类似作图法，表示正单轴晶倍频过程的：

- 1、一类匹配的非临界相位匹配；
- 2、二类匹配的非临界相位匹配；
- 3、双折射差 (n_e 和 n_o 的差值较小) 不足以满足一类匹配；
- 4、仅支持一类匹配，但不支持二类匹配。(纠正：存在一类匹配，不一定存在二类匹配，但存在二类匹配，一定存在一类匹配)

注意

- 首先要区分什么叫临界，什么叫非临界。
- 如果是负单轴晶？



第4节作业②



BBO(3m 点群)在倍频过程 ($\omega=532\text{nm}$, $2\omega=266\text{ nm}$) 中的相关参数如下:

$$d_{22}=2.4\text{pm/V}; d_{15}=d_{31}=0.3\text{pm/V};$$

$$d_{33}=0.4\text{pm/V};$$

$$n_e(\omega)=1.5555, n_o(\omega)=1.6749;$$

$$n_e(2\omega)=1.6146, n_o(2\omega)=1.7571.$$

求解:

1、一类相位匹配的匹配角 θ 、相位匹配时最大的有效非线性系数，以及对应的基频光电场分量；

2、二类相位匹配的匹配角 θ 、相位匹配时最大的有效非线性系数，以及对应的基频光电场（用列向量表示）；

3、简单对比一类和二类匹配的走离效应。

提示:

- 1、根据主轴折射率确定一类和二类匹配的类型
- 2、找到对应公式计算匹配角 θ
- 3、通过点群对称性，确定非线性系数矩阵，计算得到初步的有效非线性系数；
- 4、确定方位角，使非线性系数最大
- 5、由匹配角 θ 和方位角 φ 确定电场分量值。
- 6、由走离效应公式，对比一类和二类匹配走离效应



第4节作业②

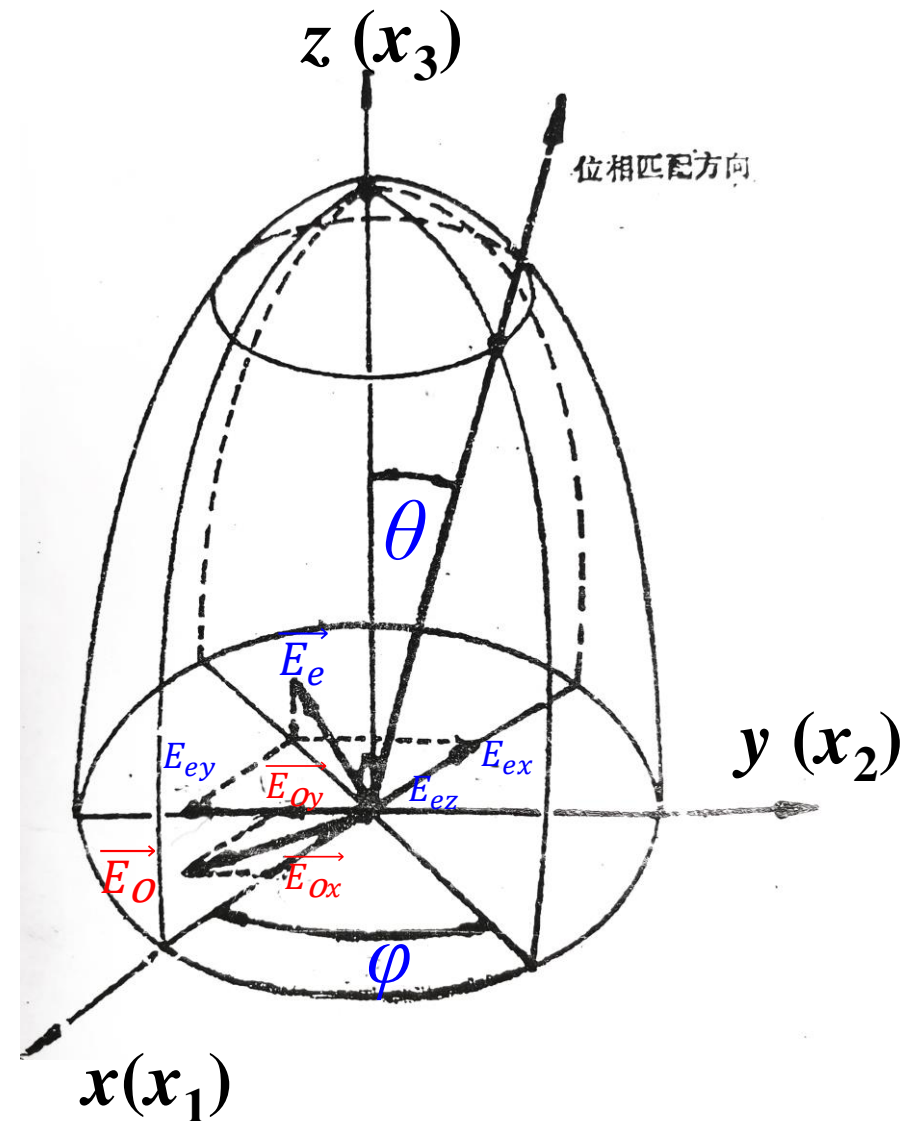


推导 KDP晶体（负单轴晶）在二次谐波产生过程中，一类（ $o+o \rightarrow e$ ）和二类（ $o+e \rightarrow e$ ）相位匹配的匹配角、走离角、和相应的有效非线性系数，并分析两种匹配情况下的最大有效非线性系数(假设 $d_{36} = 3d_{14}$)。

$$\chi^{(2)} = \begin{bmatrix} 0 & 0 & 0 & d_{14} & 0 & 0 \\ 0 & 0 & 0 & 0 & d_{14} & 0 \\ 0 & 0 & 0 & 0 & 0 & d_{36} \end{bmatrix}$$

$$\begin{pmatrix} E_{ox} \\ E_{oy} \\ E_{oz} \end{pmatrix} = E_o(\omega) \begin{pmatrix} \sin \varphi \\ -\cos \varphi \\ 0 \end{pmatrix}, \begin{pmatrix} E_{ex} \\ E_{ey} \\ E_{ez} \end{pmatrix} = E_e(\omega) \begin{pmatrix} -\cos \theta \cos \varphi \\ -\cos \theta \sin \varphi \\ \sin \theta \end{pmatrix}$$

注意：有效非线性系数是与产生的二次谐波相关，而不只与非线性极化相关，所以还要再投影一次。





第4节作业②



$o + o \rightarrow e$

折射率

$$\begin{cases} n_e(\omega, T, \theta) = \frac{n_e(\omega, T)n_o(\omega, T)}{[n_o^2(\omega, T)\sin^2\theta + n_e^2(\omega, T)\cos^2\theta]^{1/2}} \\ n_o(\omega, T, \theta) = n_o(\omega, T) \end{cases}$$

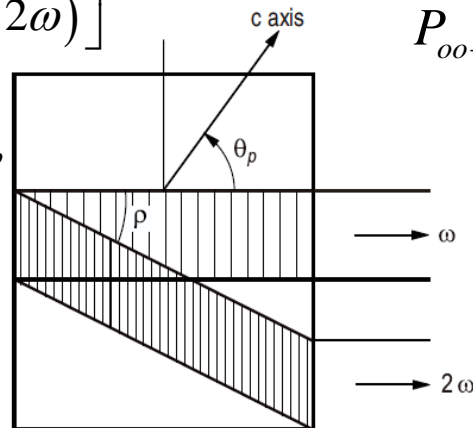
匹配角

$$n_e(2\omega, T, \theta_p) = \frac{n_e(2\omega, T)n_o(2\omega, T)}{[n_o^2(2\omega, T)\sin^2\theta_p + n_e^2(2\omega, T)\cos^2\theta_p]^{1/2}} = n_o(\omega, T)$$

有效非线性系数

走离角

$$\begin{aligned} \tan \rho &= \frac{1}{2}n_e^2(2\omega, \theta)\sin 2\theta_p \left[\frac{1}{n_e^2(2\omega)} - \frac{1}{n_o^2(2\omega)} \right] \\ &= \frac{n_o^2(\omega)}{2} \left[\frac{1}{n_e^2(2\omega)} - \frac{1}{n_o^2(2\omega)} \right] \sin 2\theta_p \\ &\approx \frac{\Delta n}{n} \sin 2\theta_p \end{aligned}$$



$$P_{oo \rightarrow e}(2\omega) = 2\varepsilon_0 \begin{pmatrix} -\cos\theta_p \cos\varphi \\ -\cos\theta_p \sin\varphi \\ \sin\theta_p \end{pmatrix}^T \vec{\chi} \begin{bmatrix} \sin^2\varphi \\ \cos^2\varphi \\ 0 \\ 0 \\ 0 \\ -\sin 2\varphi \end{bmatrix} E_o(\omega)E_o(\omega)$$

$$d_{eff} = -d_{36} \sin 2\varphi \sin \theta_p$$



第4节作业②



$o + e \rightarrow e$

折射率

$$\begin{cases} n_e(\omega, T, \theta) = \frac{n_e(\omega, T) n_o(\omega, T)}{[n_o^2(\omega, T) \sin^2 \theta + n_e^2(\omega, T) \cos^2 \theta]^{1/2}} \\ n_o(\omega, T, \theta) = n_o(\omega, T) \end{cases}$$

匹配角

$$\frac{1}{2} [n_e(\omega, T, \theta_p) + n_o(\omega, T)] = n_e(2\omega, T, \theta_p)$$

走离角

倍频 $\tan \rho = \frac{1}{2} n_e^2(2\omega, \theta) \sin 2\theta_p \left[\frac{1}{n_e^2(2\omega)} - \frac{1}{n_o^2(2\omega)} \right]$

$$= \frac{n_e^2(2\omega, \theta)}{2} \left[\frac{1}{n_e^2(2\omega)} - \frac{1}{n_o^2(2\omega)} \right] \sin 2\theta_p$$

$$\approx \frac{\Delta n}{n} \sin 2\theta_p$$

基频

$$\tan \rho = \frac{1}{2} n_e^2(\omega, \theta) \sin 2\theta_p \left[\frac{1}{n_e^2(\omega)} - \frac{1}{n_o^2(\omega)} \right]$$

$$= \frac{n_e^2(\omega, \theta)}{2} \left[\frac{1}{n_e^2(\omega)} - \frac{1}{n_o^2(\omega)} \right] \sin 2\theta_p$$

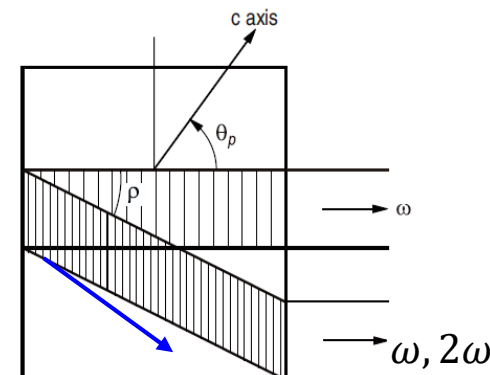
$$\approx \frac{\Delta n}{n} \sin 2\theta_p$$

有效非线性系数

$$P_{oe \rightarrow e}(2\omega) = 2\varepsilon_0 \begin{pmatrix} -\cos \theta_p \cos \varphi \\ -\cos \theta_p \sin \varphi \\ \sin \theta_p \end{pmatrix}^T \vec{\chi} \begin{bmatrix} -\frac{1}{2} \cos \theta_p \sin 2\varphi \\ \frac{1}{2} \cos \theta_p \sin 2\varphi \\ 0 \\ -\sin \theta_p \cos \varphi \\ \sin \theta_p \sin \varphi \\ \cos \theta_p \cos 2\varphi \end{bmatrix} E_o(\omega) E_e(\omega)$$

修正

$$d_{\text{eff}} = \frac{1}{2} (d_{14} + d_{36}) \sin 2\theta_p \cos 2\varphi$$





第5节作业①



假设有效非线性系数为

$$d(z) = \begin{cases} d_a, & z \in [n\Lambda, n\Lambda + \alpha\Lambda) \\ d_b, & z \in [n\Lambda + \alpha\Lambda, (n+1)\Lambda) \end{cases} \quad \alpha \in \left(0, \frac{1}{2}\right]$$

其傅里叶级数展开形式为

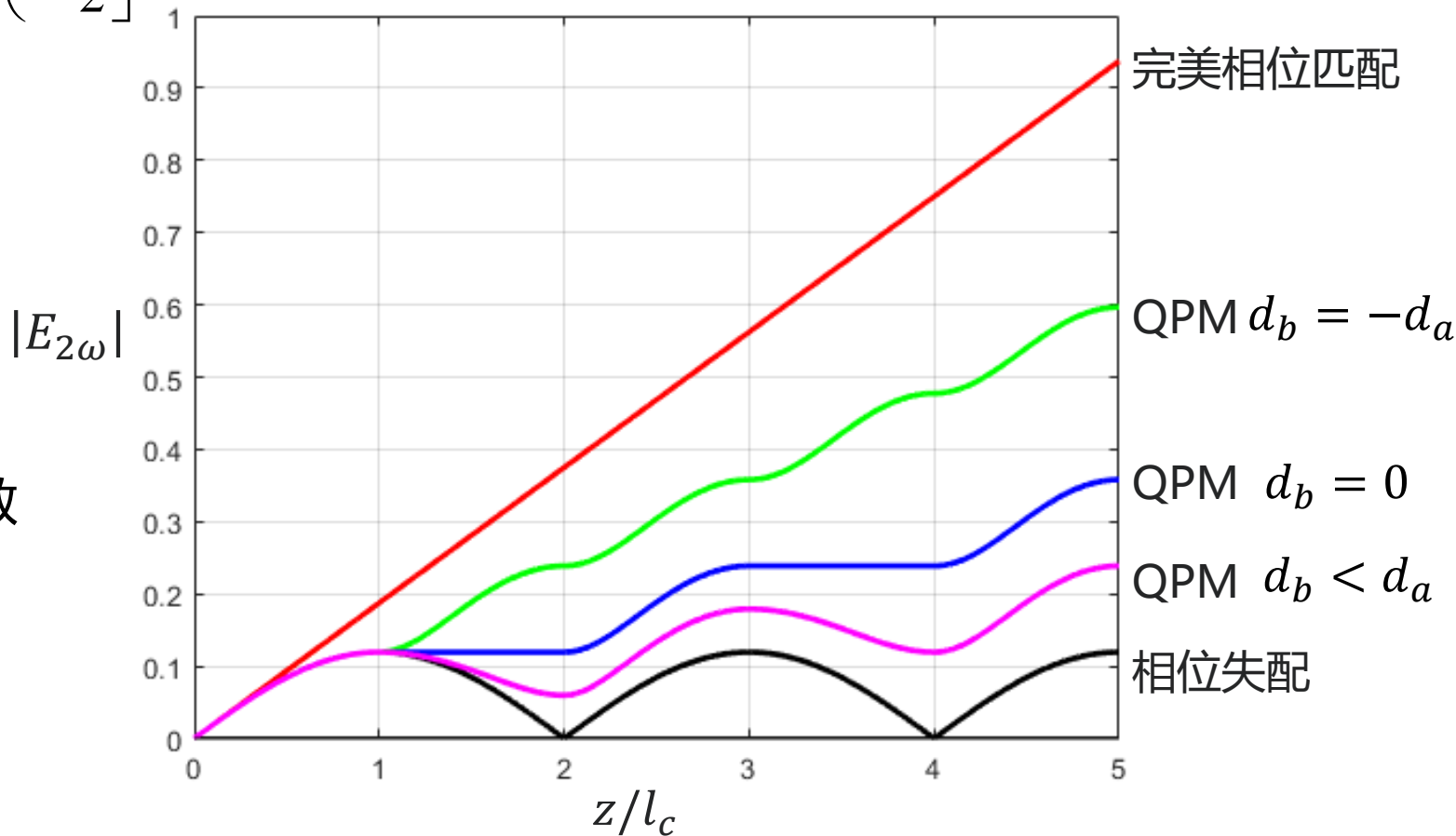
$$d(z) = \sum_{m=-\infty}^{\infty} c_m \exp(iG_m z), \quad G_m = \frac{2m\pi}{\Lambda}$$

$$c_m = \frac{1}{\Lambda} \int_0^{\Lambda} d(z) \exp(-iG_m z) dz$$

分别考虑以下三种情况，求解傅里叶系数 c_m 的表达式

$$d_b = -d_a, \alpha = \frac{1}{2}; \quad d_b = 0, \alpha = \frac{1}{2};$$

$$d_b = \frac{1}{2}d_a, \alpha = \frac{1}{4}$$





第5节作业①



假设晶体的二阶非线性系数为

$$d(z) = \begin{cases} d_a, z \in [n\Lambda, (n+1/2)\Lambda) \\ d_b, z \in [(n+1/2)\Lambda, (n+1)\Lambda) \end{cases}$$

其傅里叶展开

$$d(z) = \sum_{m=-\infty}^{\infty} c_m \exp(iG_m z), \quad G_m = \frac{2m\pi}{\Lambda}$$

求解傅里叶系数 c_m 的表达式, 并分别考虑

$d_a = d_{eff}$ 且 $d_b = 0$, 和 $d_a = d_{eff} = -d_b$

时, c_m 的表达式

$$\begin{aligned} c_m &= \frac{1}{\Lambda} \int_0^{\Lambda} d(z) \exp(-iG_m z) dz \\ &= \frac{1}{\Lambda} \left[\int_0^{\Lambda/2} d_a \exp(iG_m z) dz + \int_{\Lambda/2}^{\Lambda} d_b \exp(iG_m z) dz \right] \\ &= \frac{d_a}{iG_m \Lambda} \left[\exp\left(i \frac{G_m \Lambda}{2}\right) - 1 \right] + \frac{d_b}{iG_m \Lambda} \left[\exp(iG_m \Lambda) - \exp\left(i \frac{G_m \Lambda}{2}\right) \right] \\ &= -\frac{id_a}{2m\pi} (\exp(im\pi) - 1) - \frac{id_b}{2m\pi} (1 - \exp(im\pi)) \\ &= \frac{i(d_a - d_b)}{2m\pi} (1 - \exp(im\pi)) \\ &= \frac{i(d_a - d_b)}{2m\pi} (1 - \cos(m\pi)) \end{aligned}$$



第6节作业①



从二次谐波耦合波方程出发 ($\Delta k \neq 0$) :

采用以下变换:

求解

$$\begin{cases} \frac{dE_1(z)}{dz} = \frac{2id_{eff}\omega_1^2}{k_1c^2} E_2(z) E_1^*(z) e^{-i\Delta kz} \\ \frac{dE_2(z)}{dz} = \frac{id_{eff}\omega_2^2}{k_2c^2} E_1^2(z) e^{i\Delta kz} \end{cases}$$

$$\begin{cases} E_1(z) = \left(\frac{2I}{n_1\epsilon_0 c} \right)^{1/2} u_1(z) e^{i\varphi_1} \\ E_2(z) = \left(\frac{2I}{n_2\epsilon_0 c} \right)^{1/2} u_2(z) e^{i\varphi_2} \end{cases} \quad \begin{cases} l = \left(\frac{n_2\epsilon_0 c}{2I} \right)^{1/2} \frac{n_1 c}{2d_{eff}\omega_1} \\ \theta(z) = 2\varphi_1 - \varphi_2 + \Delta kz \\ \xi = z/l \end{cases}$$

$$\begin{cases} \frac{du_1(\xi)}{d\xi} = \\ \frac{du_2(\xi)}{d\xi} = \\ \frac{d\theta(\xi)}{d\xi} = \end{cases}$$

并根据以下参数计算归一化距离 l

$$d_{eff} = 20 \text{ pm} \cdot \text{V}^{-1}, \lambda_1 = \frac{2\pi c}{\omega_1} = 1000 \text{ nm}, \langle P_1 \rangle = 1 \text{ W}$$

$$n_1 = 2.2, n_2 = 2.3, S = 2\pi \text{ mm}^2, \Delta t = 5 \text{ ns}, f = 20 \text{ kHz}$$

$$\epsilon_0 \approx 8.854 \times 10^{-12} \text{ A} \cdot \text{s} \cdot \text{V}^{-1} \cdot \text{m}^{-1}, c \approx 3 \times 10^8 \text{ m} \cdot \text{s}^{-1}$$

脉冲光: $E \sim 10^6, l \sim 1 \text{ cm}$

连续光: $E \sim 10^4, l \sim 1 \text{ m}$



第6节作业②



1、由三波耦合方程组导出和频过程

$$E_1(z) \approx E_1(0), E_3(0) = 0, \Delta k = 0$$

的光场振幅表达式;

2、由三波耦合方程组导出差频 (或光参量放大) 过程

$$E_3(z) \approx E_3(0), E_2(0) = 0, \Delta k = 0$$

的光场振幅表达式;

3、简述和频与差频 (或光参量放大) 过程的不同之处

(光子能量转换、能量随传播距离的变化)

1、什么是光学参量振荡器?

2、阐述双共振和单共振参量振荡器的工作原理, 并推导这两种参量振荡器的泵浦光阈值公式。

3、对比双共振和单共振两者的优缺点



第6节作业②



当满足准相位匹配条件时，小信号近似已经不再成立。下面考虑和频过程，假设 E_1 场保持不变，但 E_2 不满足小信号近似，随 z 变化，求解 E_2 和 E_3 的电场表达式

$$\begin{array}{c} \xrightarrow{\omega_1} \\ \xrightarrow{\omega_2} \end{array} \rightarrow \boxed{\chi^{(2)}} \xrightarrow{\omega_3 = \omega_1 + \omega_2} \left\{ \begin{array}{l} \frac{dE_3(z)}{dz} = \frac{2id_{\text{eff}}\omega_3^2}{k_3c^2} E_1(0)E_2(z) \\ \frac{dE_2(z)}{dz} = \frac{2id_{\text{eff}}\omega_2^2}{k_2c^2} E_3(z)E_1^*(0) \end{array} \right.$$

$$\left\{ \begin{array}{l} \frac{d^2 E_3(z)}{dz^2} = i\kappa_3 E_1(0) \frac{dE_2(z)}{dz} \\ \frac{dE_2(z)}{dz} = i\kappa_2 E_3(z) E_1^*(0) \end{array} \right.$$

定义和频增益系数， g_{SF}

$$g_{SF}^2 = \kappa_3 \kappa_2 |E_1(0)|^2$$

$$\begin{aligned} \frac{d^2 E_3(z)}{dz^2} &= -\kappa_3 \kappa_2 E_1^2(0) E_3(z) \\ \frac{d^2 E_3(z)}{dz^2} &= -g_{SF}^2 E_3(z) \end{aligned}$$

二阶微分方程一般解

$$\left\{ \begin{array}{l} E_3(z) = C_3 \cos(g_{SF} z) + D_3 \sin(g_{SF} z) \\ E_2(z) = \frac{1}{i\kappa_3 E_1(0)} [-C_3 g_{SF} \sin(g_{SF} z) + D_3 g_{SF} \cos(g_{SF} z)] \end{array} \right.$$

$$\left\{ \begin{array}{l} E_3(0) = C_3 \\ E_2(0) = \frac{D_3 g_{SF}}{i\kappa_3 E_1(0)} \end{array} \right.$$



第5节作业③



不考虑E3损耗，求解差频和光参量放大过程的场表达式，并给出E2(0)=0时的解。

(求解过程可参考和频尝试解的形式)

$$\begin{cases} \frac{dE_1(z)}{dz} = \frac{2id_{eff}\omega_1^2}{k_1c^2} E_3(0)E_2^*(z)e^{-i\Delta kz} \\ \frac{dE_2(z)}{dz} = \frac{2id_{eff}\omega_2^2}{k_2c^2} E_3(0)E_1^*(z)e^{-i\Delta kz} \end{cases}$$

$$\begin{cases} E_1(z) = [C_1 \cosh(g_{DF}z) + D_1 \sinh(g_{DF}z)] e^{-i\Delta kz/2} \\ E_2(z) = [C_2 \cosh(g_{DF}z) + D_2 \sinh(g_{DF}z)] e^{-i\Delta kz/2} \end{cases} \quad \begin{cases} E_1(z) = (C_1 e^{g_{DF}z} + D_1 e^{-g_{DF}z}) e^{-i\Delta kz/2} \\ E_2(z) = (C_2 e^{g_{DF}z} + D_2 e^{-g_{DF}z}) e^{-i\Delta kz/2} \end{cases}$$

$$\begin{cases} E_1(z) = \left\{ E_1(0) \cosh(g_{DF}z) + \left[\frac{i\Delta k}{2g_{DF}} E_1(0) + i \frac{\kappa_1}{g_{DF}} E_3(0)E_2^*(0) \right] \sinh(g_{DF}z) \right\} e^{-i\Delta kz/2} \\ E_2(z) = \left\{ E_2(0) \cosh(g_{DF}z) + \left[\frac{i\Delta k}{2g_{DF}} E_2(0) + i \frac{\kappa_2}{g_{DF}} E_3(0)E_1^*(0) \right] \sinh(g_{DF}z) \right\} e^{-i\Delta kz/2} \end{cases}$$

$$\kappa_1 = \frac{2d_{eff}\omega_1^2}{k_1c^2}, \kappa_2 = \frac{2d_{eff}\omega_2^2}{k_2c^2}$$

$$g_{DF}^2 = \kappa_1\kappa_2 |E_3(0)|^2 - \frac{\Delta k^2}{4}$$

$$\begin{cases} E_1(z) = [C_1 \cos(g_{DF}z) + D_1 \sin(g_{DF}z)] e^{-i\Delta kz/2} \\ E_2(z) = [C_2 \cos(g_{DF}z) + D_2 \sin(g_{DF}z)] e^{-i\Delta kz/2} \end{cases} \quad \begin{cases} E_1(z) = (C_1 e^{ig_{DF}z} + D_1 e^{-ig_{DF}z}) e^{-i\Delta kz/2} \\ E_2(z) = (C_2 e^{ig_{DF}z} + D_2 e^{-ig_{DF}z}) e^{-i\Delta kz/2} \end{cases}$$

$$\kappa_1 = \frac{2d_{eff}\omega_1^2}{k_1c^2}, \kappa_2 = \frac{2d_{eff}\omega_2^2}{k_2c^2}$$

$$g_{DF}^2 = \frac{\Delta k^2}{4} - \kappa_1\kappa_2 |E_3(0)|^2$$



第十章 光孤子

习题课

教师：魏敦钊（副教授）

邮箱：weidzh@mail.sysu.edu.cn

主页：spe.sysu.edu.cn/node/2973



第1节作业①



1. 假设有一个变换极限高斯脉冲，计算其脉冲半峰全宽为 $\Delta t = 10 \text{ ns}, 10 \text{ ps}, 100 \text{ fs}$ 时，对应的频率带宽 $\Delta \nu$ 、波长带宽 $\Delta \lambda$ 和相干距离。
(提示: $\lambda = 2\pi c / \omega = c / \nu$, 计算时取中心波长 $\lambda_0 = 1 \mu\text{m}$) (5分)
2. 有一根单模光纤，长度 $L=100\text{km}$ ， $D=17\text{ps/nm}\cdot\text{km}$ 。计算中心波长 1550nm 变换极限高斯脉冲（脉冲半峰全宽为 $\Delta t = 10\text{ps}$ ）经过该单模光纤后的群时延。(5分)

提示:

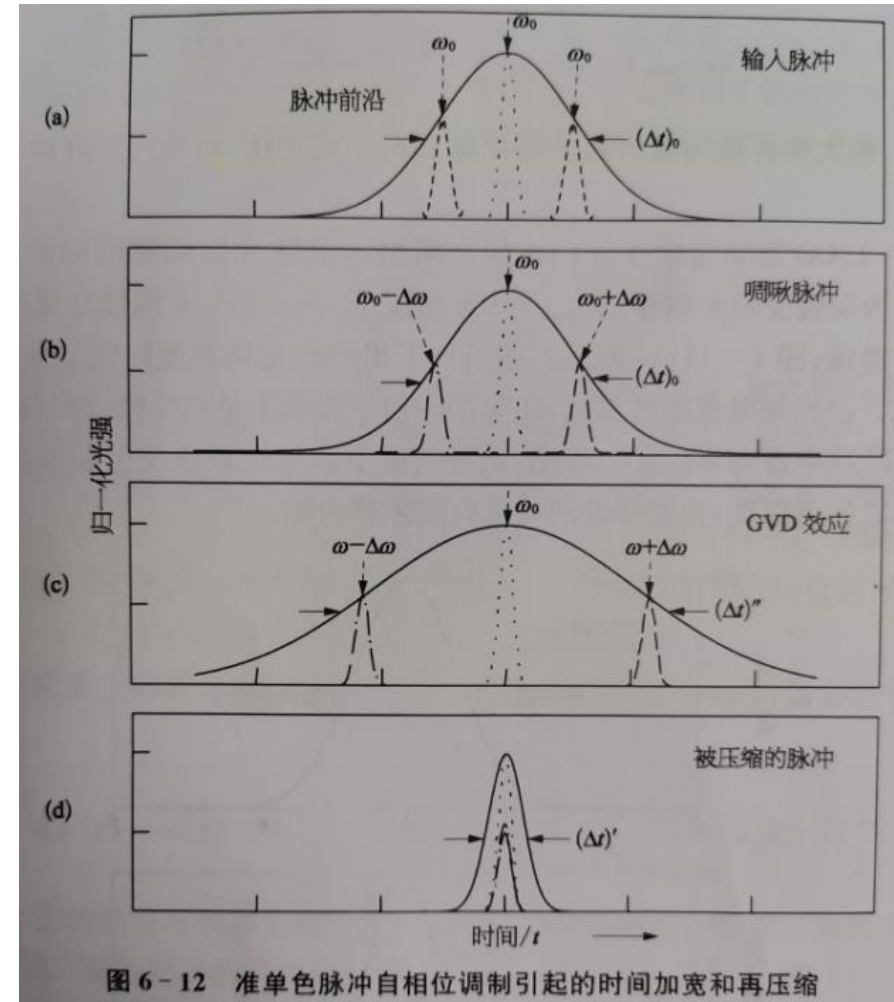
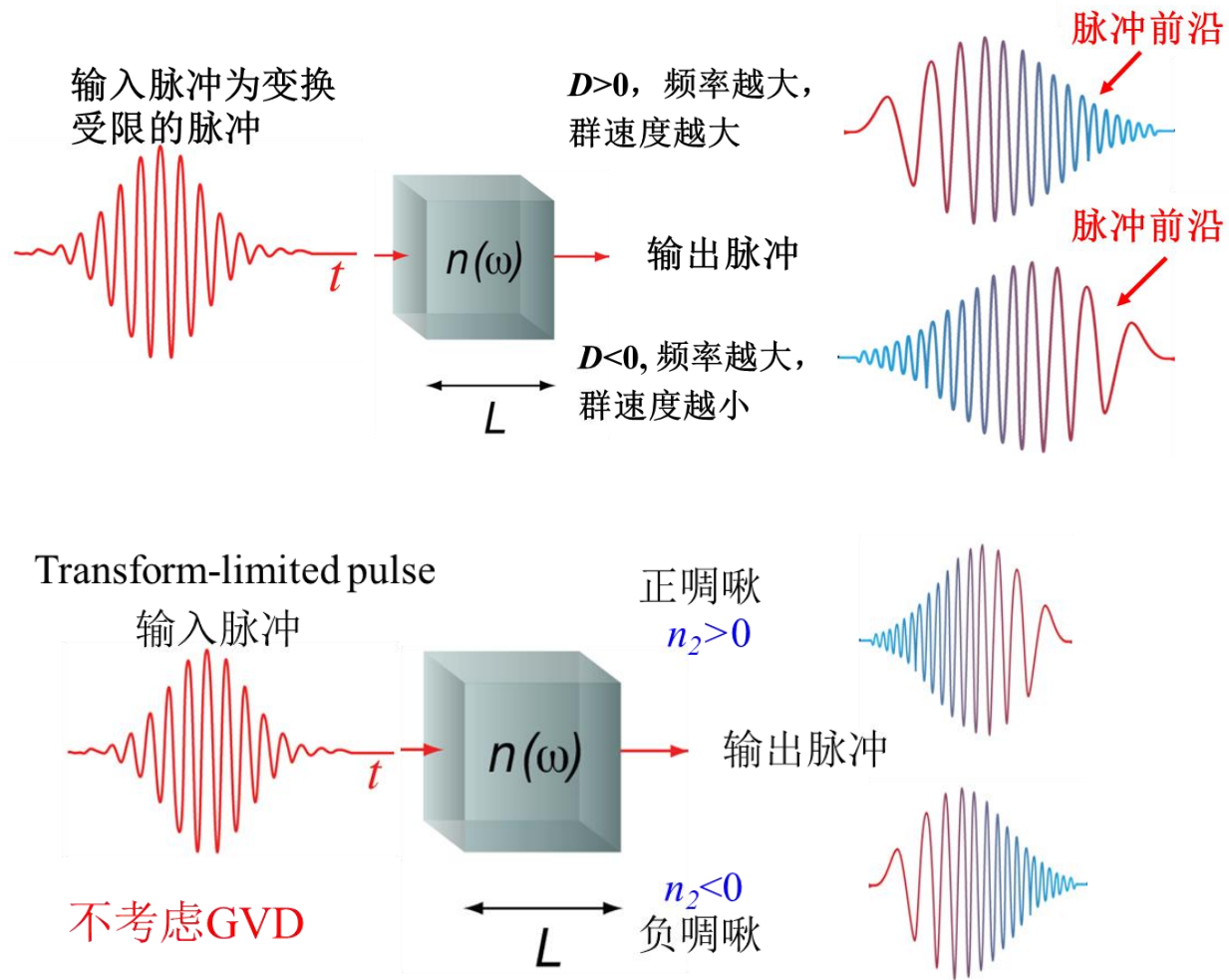
- 变换极限高斯脉冲 $\Delta \nu \Delta t = 0.441$
- 根据 $\lambda = \frac{2\pi c}{\omega} = \frac{c}{\nu}$ ，求得 $\Delta \lambda$
- 由 $\Delta \tau(\lambda) = DL\Delta \lambda$ ，求得展宽后的脉冲 **600 ps**



第1节作业②



描述当 $D < 0$ 且 $n_2 < 0$ 时,群速度色散和自相位调制分别如何影响脉冲形貌。（要求：借助时域和频域光场分布图辅助说明）





第1节作业③



由

$$E(z, t) = a(z, t) e^{i(\omega_0 t - \beta_0 z)}$$

$$P^{(3)}(z, t) = P(z, t) e^{i(\omega_0 t - \beta_0 z)}$$

$$\nabla^2 E - \frac{\epsilon_r}{c^2} \frac{\partial^2 E}{\partial t^2} = \mu_0 \frac{\partial^2 P^{(3)}}{\partial t^2}$$

推导出平面波超短光脉冲的非线性波动方程

$$\frac{\partial a}{\partial z} + \beta_1 \frac{\partial a}{\partial t} - \frac{i\beta_2}{2} \frac{\partial^2 a}{\partial t^2} + \frac{\alpha}{2} a + i \frac{n_0 n_2 \omega_0 \epsilon_0}{2} a = 0$$



求解平面波超短光脉冲非线性波动方程



脉冲光电场包络表达式和及其产生的非线性极化

$$P^{(3)} = n_0^2 \epsilon_0^2 n_2 c |a|^2 a e^{i(\omega_0 t - \beta_0 z)} = P(z, t) e^{i(\omega_0 t - \beta_0 z)}$$

$$E(z, t) = a(z, t) e^{i(\omega_0 t - \beta_0 z)} = \frac{1}{2\pi} e^{i(\omega_0 t - \beta_0 z)} \int d\Omega A(z, \Omega) e^{i\Omega t}$$

代入

$$\nabla^2 E - \frac{n_0^2}{c^2} \frac{\partial^2 E}{\partial t^2} = \mu_0 \frac{\partial^2 P^{(3)}}{\partial t^2} \quad \Rightarrow \quad \int \frac{d\Omega}{2\pi} \left\{ \frac{\partial A}{\partial z} + \frac{i}{2\beta_0} [\beta^2(\omega) - \beta_0^2] A \right\} e^{i\Omega t} = \mu_0 \frac{\partial^2 P(z, t) e^{i(\omega_0 t - \beta_0 z)}}{\partial t^2}$$

考虑

$$\begin{cases} \beta(\omega) \approx \beta_0 + \beta_1 \Omega + \frac{1}{2} \beta_2 \Omega^2 - \frac{i}{2} \alpha \\ \beta(\omega) + \beta_0 \approx 2\beta_0 \end{cases}$$

α 为损耗系数

$$\Rightarrow \int \frac{d\Omega}{2\pi} \left\{ \frac{\partial A}{\partial z} + i \left[\beta_1 \Omega + \frac{1}{2} \beta_2 \Omega^2 - \frac{i}{2} \alpha \right] A \right\} e^{i\Omega t} = -\mu_0 \omega_0^2 P(z, t)$$



$$\frac{\partial^2 A}{\partial z^2} \approx 0, \beta^2(\omega) = \frac{n_0^2 \omega^2}{c^2},$$

$$\omega_0^2 P(z, t) \gg \omega_0 \frac{\partial P(z, t)}{\partial t}, \frac{\partial^2 P(z, t)}{\partial t^2}$$

$$\frac{\partial a}{\partial z} + \beta_1 \frac{\partial a}{\partial t} - \frac{i\beta_2}{2} \frac{\partial^2 a}{\partial t^2} + \frac{\alpha}{2} a + i\gamma |a|^2 a = 0 \quad \gamma = \frac{n_0 \epsilon_0 \omega_0 n_2}{2}$$



第1节作业④



假设 $n_2 > 0$ & $\beta_2 < 0$ 由无损耗超短光脉冲非线性波动方程

$$\frac{\partial a}{\partial z} + \beta_1 \frac{\partial a}{\partial t} - \frac{i\beta_2}{2} \frac{\partial^2 a}{\partial t^2} + i\gamma |a|^2 a = 0$$

通过变量替换

$$\tau = \frac{t - z/v_g}{T_0} \quad T_0 \text{ 为任意时间尺度因子}$$

$$\xi = \frac{|\beta_2|z}{T_0^2} \quad \xi \text{ 为无量纲传输距离}$$

$$a(z, \tau) = E_p u(z, \tau) \quad E_p \text{ 为脉冲峰值场强}$$

$$E_p^2 = \frac{|\beta_2|}{\gamma T_0^2} = \frac{2|\beta_2|}{n_0 \epsilon_0 \omega_0 |n_2| T_0^2}$$

证明

$$\frac{\partial u}{\partial \xi} + i \frac{1}{2} \frac{\partial^2 u}{\partial \tau^2} + i |u|^2 u = 0$$

并证明以下结果是上述方程的解

$$u(\xi, \tau) = \text{sech}(\tau) \exp\left(\frac{-i\xi}{2}\right)$$



第1节作业④



假设 $n_2 > 0$ & $\beta_2 < 0$ 由无损耗非线性传播方程

$$\frac{\partial a}{\partial z} + \beta_1 \frac{\partial a}{\partial t} - \frac{i\beta_2}{2} \frac{\partial^2 a}{\partial t^2} + i\gamma |a|^2 a = 0$$

和变量替换

$$\tau = \frac{t - z/v_g}{T_0} \quad T_0 \text{ 为任意时间尺度因子}$$

$$\xi = \frac{|\beta_2|z}{T_0^2} \quad \xi \text{ 为无量纲传输距离}$$

$$a(z, \tau) = E_p u(z, \tau) \quad E_p \text{ 为脉冲峰值场强}$$

$$E_p^2 = \frac{|\beta_2|}{\gamma T_0^2} = \frac{2|\beta_2|}{n_0 \epsilon_0 \omega_0 |n_2| T_0^2}$$

证明
$$\frac{\partial u}{\partial \xi} + i \frac{1}{2} \frac{\partial^2 u}{\partial \tau^2} + i |u|^2 u = 0$$

并证明以下结果是上述方程的解

$$u(\xi, \tau) = \text{sech}(\tau) \exp\left(\frac{-i\xi}{2}\right)$$

关键

$$\frac{\partial u}{\partial t} \rightarrow \frac{\partial u}{\partial \tau}, \frac{\partial u}{\partial \xi}$$

$$\frac{\partial u}{\partial z} \rightarrow \frac{\partial u}{\partial \tau}, \frac{\partial u}{\partial \xi}$$

$$\frac{\partial^2 u}{\partial t^2} \rightarrow ? \quad ?$$

$$\frac{\partial u}{\partial z} = \frac{\partial u}{\partial \tau} \frac{\partial \tau}{\partial z} + \frac{\partial u}{\partial \xi} \frac{\partial \xi}{\partial z} = -\frac{1}{T_0 v_g} \frac{\partial u}{\partial \tau} + \frac{|\beta_2|}{T_0^2} \frac{\partial u}{\partial \xi}$$

$$\frac{\partial u}{\partial t} = \frac{\partial u}{\partial \tau} \frac{\partial \tau}{\partial t} + \frac{\partial u}{\partial \xi} \frac{\partial \xi}{\partial t} = \frac{1}{T_0} \frac{\partial u}{\partial \tau}$$

$$\frac{\partial^2 u}{\partial t^2} = \frac{\partial}{\partial \tau} \left(\frac{1}{T_0} \frac{\partial u}{\partial \tau} \right) \frac{\partial \tau}{\partial t} = \frac{1}{T_0^2} \frac{\partial^2 u}{\partial \tau^2}$$



第1节作业⑤



由

$$E(z, t) = a(z, t) e^{i(\omega_0 t - \beta_0 z)} u(x, y)$$

$$P^{(3)} = P(x, y, z) e^{i(\omega_0 t - \beta_0 z)}$$

$$\nabla_T^2 E + \frac{\partial^2 E}{\partial z^2} - \frac{\epsilon_r}{c^2} \frac{\partial^2 E}{\partial t^2} = \mu_0 \frac{\partial^2 P^{(3)}}{\partial t^2}$$

推导出波导中超短光脉冲的非线性波动方程

$$\frac{\partial a}{\partial z} + \beta_1 \frac{\partial a}{\partial t} - \frac{i\beta_2}{2} \frac{\partial^2 a}{\partial t^2} + \frac{\alpha}{2} a + i\kappa |a|^2 a = 0$$

$$\kappa = \frac{\omega_0 n_0 n_2 \epsilon_0}{2} \frac{\iint |u|^4 dx dy}{\iint |u|^2 dx dy}$$



第1节作业⑤



将非线性极化看做微扰项，先求解 $\delta n_{NL} = 0$ 的传播常数，波导中的电场（单色）可以表示成：

$$E(\omega) = u(x, y, \omega) e^{i(\omega t - \beta z)}$$

代入线性波动方程

$$\nabla_T^2 E + \frac{\partial^2 E}{\partial z^2} - \frac{\epsilon_r}{c^2} \frac{\partial^2 E}{\partial t^2} = 0$$

得到

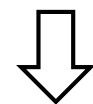
$$\nabla_T^2 u + \left(\frac{\epsilon_r}{c^2} \omega^2 - \beta^2 \right) u = 0$$

这是波导中的线性传播方程。由于 $u_r(x, y, \omega)$ 依赖于空间坐标，因此，第二项不再满足 $\mu_0 \epsilon_0 \epsilon_r \omega^2 - \beta^2 = 0$ 。需结合第一项，修正波导中的传播常数 β 。对波动方程乘以 u^* ，并对 x 和 y 积分。

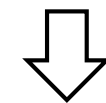
$$\iint u^* \nabla_T^2 u dx dy = \iint \nabla_T \cdot (u^* \nabla_T u) dx dy - \iint |\nabla_T u|^2 dx dy$$

由散度理论，积分边界为无穷远处， $u \rightarrow 0$

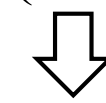
$$\iint \nabla_T \cdot (u^* \nabla_T u) dx dy = \int u^* \nabla_T u \cdot \hat{n} dS = 0$$



$$\iint u^* \nabla_T^2 u dx dy + \iint \left(\mu_0 \frac{\epsilon_r}{c^2} \omega^2 - \beta^2 \right) |u|^2 dx dy = 0$$



$$-\iint |\nabla_T u|^2 dx dy + \iint \left(\frac{\epsilon_r}{c^2} \omega^2 - \beta^2 \right) |u|^2 dx dy = 0$$



$$\beta^2(\omega) = \frac{\iint \left(\frac{\epsilon_r}{c^2} \omega^2 |u|^2 - |\nabla_T u|^2 \right) dx dy}{\iint |u|^2 dx dy}$$

$$|\nabla_T u|^2 > 0 \Rightarrow \omega^2 \mu_0 \epsilon_0 \epsilon_r^{cladding} < \beta^2(\omega) < \omega^2 \mu_0 \epsilon_0 \epsilon_r^{core}$$



第1节作业⑤



为了减小非线性传播过程中导致的横向模式不稳定，波导结构常被设计常单模波导（仅支持一个模式）；另一方面，忽略空间的自聚焦效应。因此，下面考虑单模波导中的非线性传播方程。（如果是多模式呢？）

$$E(z, t) = a(z, t) e^{i(\omega_0 t - \beta_0 z)} u(x, y)$$

$$P^{(3)} = P(x, y, z) e^{i(\omega_0 t - \beta_0 z)}$$

脉冲包络傅里叶变换

$$A(z, \Omega) = \int a(z, t) e^{-i\Omega t} dt, \quad \Omega = \omega - \omega_0$$

$$a(z, t) = \frac{1}{2\pi} \int A(z, \Omega) e^{i\Omega t} d\Omega, \quad \Omega = \omega - \omega_0$$

$$\nabla_T^2 E + \frac{\partial^2 E}{\partial z^2} - \frac{\epsilon_r}{c^2} \frac{\partial^2 E}{\partial t^2} = \mu_0 \frac{\partial^2 P^{(3)}}{\partial t^2}$$



$$\int \frac{d\Omega}{2\pi} \left\{ \nabla_T^2 - \beta_0^2 - 2i\beta_0 \frac{\partial}{\partial z} + \frac{\partial^2}{\partial z^2} + \omega^2 \frac{\epsilon_r}{c^2} \right\} A u e^{i(\Omega + \omega_0)t - i\beta_0 z} = \mu_0 \frac{\partial^2 P^{(3)}}{\partial t^2}$$



$$\nabla_T^2 u + \left(\frac{\epsilon_r}{c^2} \omega^2 - \beta^2 \right) u = 0, \quad \frac{\partial^2 A}{\partial z^2} \rightarrow 0$$

$$\int \frac{d\Omega}{2\pi} \left\{ \beta^2 - \beta_0^2 - 2i\beta_0 \frac{\partial}{\partial z} \right\} A u = \mu_0 \frac{\partial^2 P^{(3)}}{\partial t^2} e^{-i(\Omega + \omega_0)t + i\beta_0 z}$$



第1节作业⑤



$$\int \frac{d\Omega}{2\pi} \left\{ \beta^2 - \beta_0^2 - 2i\beta_0 \frac{\partial}{\partial z} \right\} A u e^{i(\Omega+\omega_0)t} e^{-i\beta_0 z} = \mu_0 \frac{\partial^2 P^{(3)}}{\partial t^2}$$

$$\begin{cases} \beta(\omega) \approx \beta_0 + \beta_1 \Omega + \frac{1}{2} \beta_2 \Omega^2 - \frac{i}{2} \alpha \\ \beta(\omega) + \beta_0 \approx 2\beta_0 \end{cases}$$



$$\int \frac{d\Omega}{2\pi} \left\{ i \left(\beta_1 \Omega + \frac{1}{2} \beta_2 \Omega^2 - \frac{i}{2} \alpha \right) A + \frac{\partial A}{\partial z} \right\} u e^{i\Omega t} = \frac{i\mu_0}{2\beta_0} \frac{\partial^2 P^{(3)}}{\partial t^2} e^{-i(\omega_0 t - \beta_0 z)}$$

$$a(z, t) = \frac{1}{2\pi} \int A(z, \Omega) e^{i\Omega t} d\Omega, \quad \Omega = \omega - \omega_0$$



$$\left\{ \frac{\partial a}{\partial z} + \beta_1 \frac{\partial a}{\partial t} - \frac{i\beta_2}{2} \frac{\partial^2 a}{\partial t^2} + \frac{\alpha}{2} a \right\} u = \frac{i\mu_0}{2\beta_0} \frac{\partial^2 P^{(3)}}{\partial t^2} e^{-i(\omega_0 t - \beta_0 z)}$$

$$\begin{aligned} P^{(3)} &= P(x, y, z, t) e^{i(\omega_0 t - \beta_0 z)} \\ &= n_0^2 \varepsilon_0^2 n_2 c |a|^2 |u|^2 u a e^{i(\omega_0 t - \beta_0 z)} \end{aligned}$$



$$\left(\frac{\partial a}{\partial z} + \beta_1 \frac{\partial a}{\partial t} - \frac{i\beta_2}{2} \frac{\partial^2 a}{\partial t^2} + \frac{\alpha}{2} a \right) \cdot \iint |u|^2 dx dy + \frac{i\varepsilon_0 \omega_0 n_0 n_2}{2} |a|^2 a \cdot \iint |u|^4 dx dy = 0 \quad \text{乘以 } u^* \text{ 并两边对横向积分}$$



$$\frac{\partial a}{\partial z} + \beta_1 \frac{\partial a}{\partial t} - \frac{i\beta_2}{2} \frac{\partial^2 a}{\partial t^2} + \frac{\alpha}{2} a + i\kappa |a|^2 a = 0$$

$$\kappa = \frac{\omega_0 n_0 n_2 \varepsilon_0}{2} \frac{\iint |u|^4 dx dy}{\iint |u|^2 dx dy}$$

描述波导中光脉冲的传播方程



谢谢大家！